



熱揺らぎと結合したGPモデルに おける超流動乱流の減衰機構II

大阪市立大理 小林未知数、坪田誠

3月20日・日本物理学会2007年春季大会 20aRD-12



素励起物理学研究室
Elementary Excitation Physics Laboratory

(物性理論研究室)



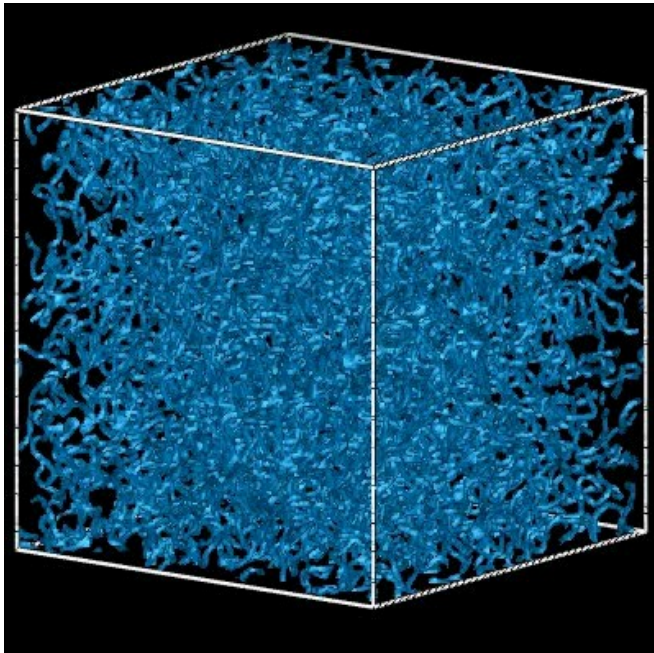


発表内容

1. 研究目的
 2. Gross-Pitaevskii & Bogoliubov-de Gennes
方程式
 3. 1本の渦でのシミュレーション
 4. 超流動乱流中でのシミュレーション
 5. まとめ
 6. 今後の課題
- 
- 

1, 超流動乱流における散逸構造

研究目的: 超流動乱流中における散逸構造の解明



超流動乱流: 超流動 ^4He において
実現される乱流 量子渦タングル

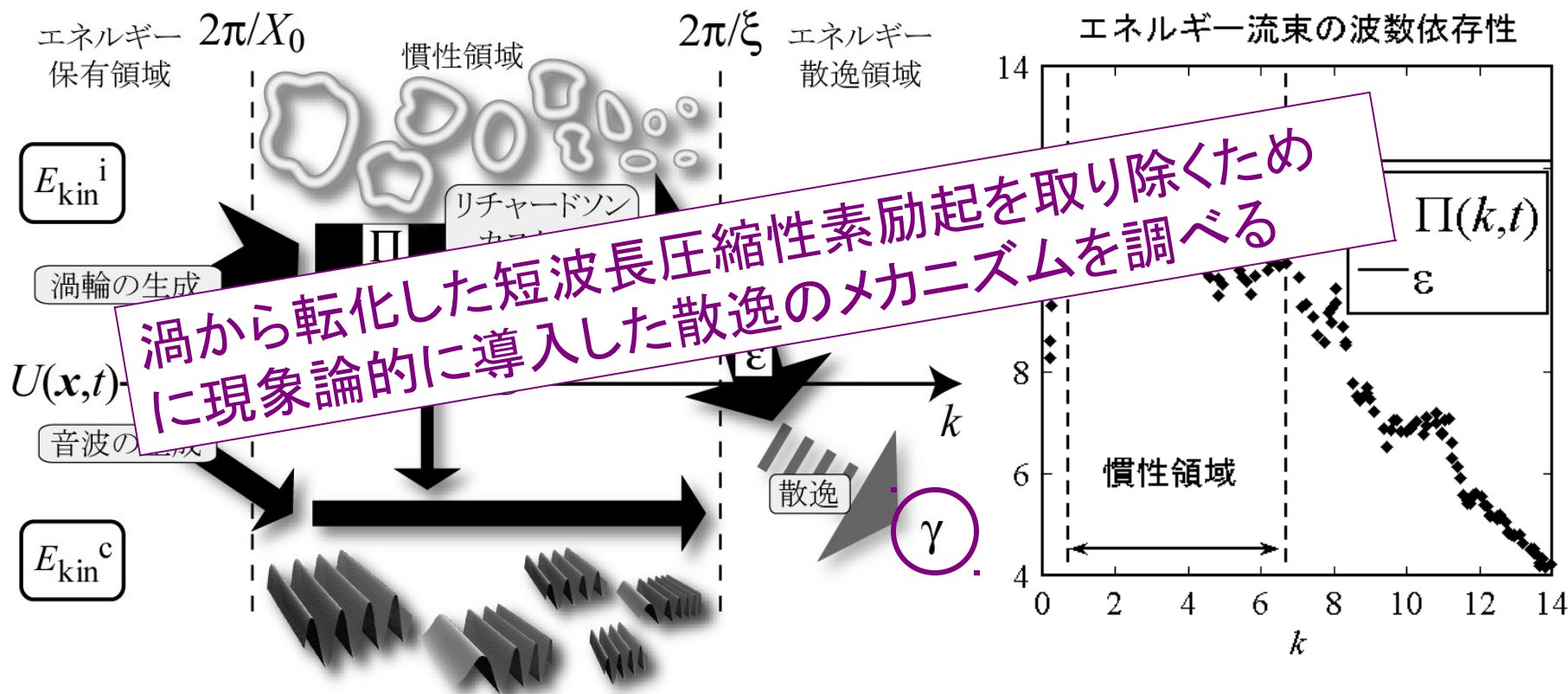
乱流に働く減衰機構とは？
なぜそんな問題を考える
か？

超流動乱流のシミュレーション

(<http://matter.sci.osaka-cu.ac.jp/~bsr/tsubotag/tsubotasim-j.html>)

1, 超流動乱流における散逸構造

超流動乱流中には(渦芯よりも小さなスケールで)散逸が存在する



M. Kobayashi and M. Tsubota, PRL **94**, 065302
 (2005) M. Kobayashi and M. Tsubota, JPSJ **74**, 3248
 (2005)

2, Gross-Pitaevskii & Bogoliubov-de Gennes 方程式によるシミュレーション

ボース場のハミルトニアンとその時間発展

$$\hat{H} = \int d\mathbf{x} \hat{\Psi}^\dagger(\mathbf{x}, t) \left[-\nabla^2 - \mu + \frac{g}{2} |\hat{\Psi}(\mathbf{x}, t)|^2 \right] \hat{\Psi}(\mathbf{x}, t)$$

$$i \frac{\partial}{\partial t} \hat{\Psi}(\mathbf{x}, t) = [-\nabla^2 - \mu + g \hat{\Psi}^\dagger(\mathbf{x}, t) \hat{\Psi}(\mathbf{x}, t)] \hat{\Psi}(\mathbf{x}, t)$$

$\hat{\Psi}(\mathbf{x})$: ボース場の演算子

μ : 化学ポテンシャル

g : 相互作用の結合定数

1次揺らぎまで残した平均場近似

$$i\frac{\partial}{\partial t}\hat{\Psi}(\mathbf{x},t) = [-\nabla^2 - \mu + g\hat{\Psi}^\dagger(\mathbf{x},t)\hat{\Psi}(\mathbf{x},t)]\hat{\Psi}(\mathbf{x},t)$$

$\hat{\Psi}(\mathbf{x},t) = \Phi(\mathbf{x},t) + \hat{\chi}(\mathbf{x},t) + \hat{\zeta}(\mathbf{x},t)$: ボース場

$\Phi(\mathbf{x},t) = O(\sqrt{N_0})$: BEC の巨視的波動関数 (平均場)

$\hat{\chi}(\mathbf{x},t) = O(1)$: BEC の 1 次揺らぎ

$\hat{\zeta}(\mathbf{x},t) = O(1/\sqrt{N_0})$: 高次揺らぎ (無視)

GP方程式とBdG方程式

$$i\frac{\partial\Phi}{\partial t} = [-\nabla^2 - \mu + g(|\Phi|^2 + 2\langle\hat{\chi}^\dagger\hat{\chi}\rangle)]\Phi + g\langle\hat{\chi}\hat{\chi}\rangle\Phi^* : \text{GP}$$

$$i\frac{\partial\hat{\chi}}{\partial t} = [-\nabla^2 - \mu + 2g|\Phi|^2]\hat{\chi} + g\Phi^2\chi^\dagger : \text{BdG}$$

量子渦

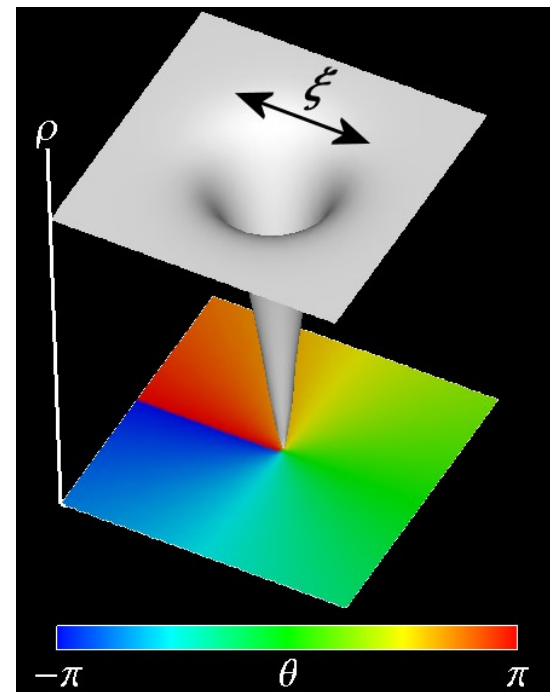
$$i\frac{\partial\Phi}{\partial t} = [-\nabla^2 - \mu + g(|\Phi|^2 + 2\langle\hat{\chi}^\dagger\hat{\chi}\rangle)]\Phi + g\langle\hat{\chi}\hat{\chi}\rangle\Phi^*$$

$$\Phi(\mathbf{x}) = |\Phi(\mathbf{x})| \exp[i\theta(\mathbf{x})]$$

$$\rho(\mathbf{x}) = |\Phi(\mathbf{x})|^2 : \text{凝縮体密度}$$

$$\mathbf{v}(\mathbf{x}) = 2\nabla\theta(\mathbf{x}) : \text{凝縮体の速度場}$$

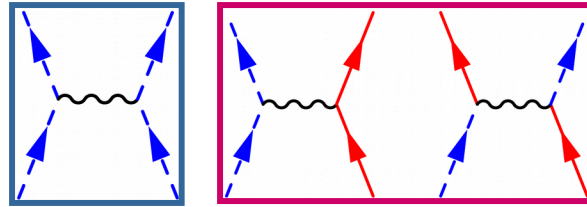
$$\xi = 1/\sqrt{g\rho} : \text{回復長 (渦芯サイズ)}$$



量子渦

GP方程式の散逸構造

$$i \frac{\partial \Phi}{\partial t} = [-\nabla^2 - \mu + g(|\Phi|^2) + 2\langle \hat{\chi}^\dagger \hat{\chi} \rangle] \Phi + g \langle \hat{\chi} \hat{\chi} \rangle \Phi^*$$



$$\gamma(\mathbf{x}, t) = -\text{Im} \left[g \frac{\langle \hat{\chi}(\mathbf{x}, t) \hat{\chi}(\mathbf{x}, t) \rangle \Phi^*(\mathbf{x}, t)}{\Phi(\mathbf{x}, t)} \right]$$

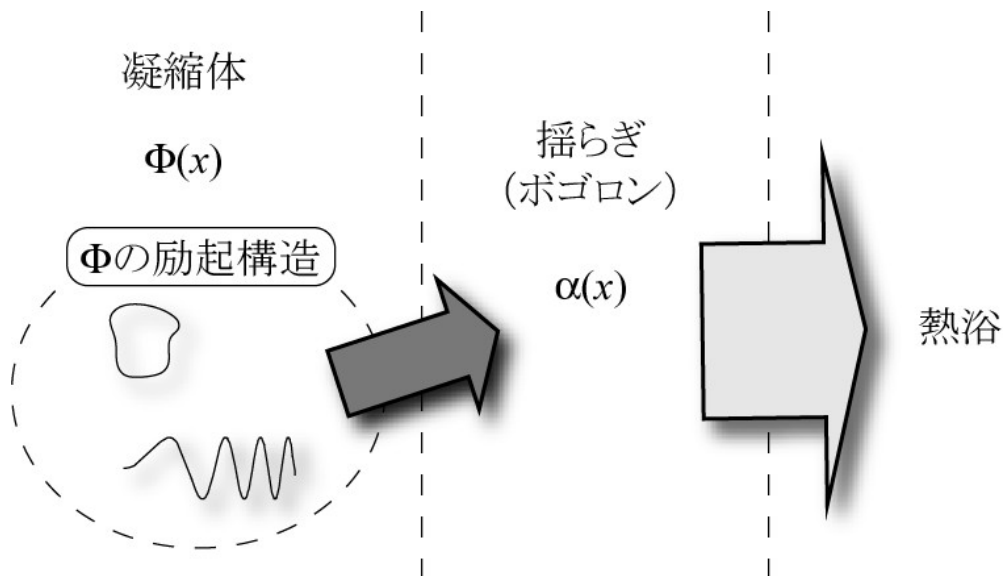
GP方程式の散逸はハミルトニアン
の虚部として定義できる

局所平衡近似

$$\hat{\chi}(\mathbf{x}, t) = \frac{1}{\sqrt{V}} \sum_j \phi_j(\mathbf{x}, t) \hat{a}_j = \frac{1}{\sqrt{V}} \sum_j [u_j(\mathbf{x}, t) \hat{\alpha}_j + v_j^*(\mathbf{x}, t) \hat{\alpha}_j^\dagger]$$

$$\langle \alpha_j^\dagger \alpha_j \rangle = N_j = \frac{1}{\exp[E_j/T] - 1}$$

局所平衡近似



素励起(ボゴロン)は熱浴と結合し、エネルギーは熱浴へ散逸する

計算方法

$$i \frac{\partial \Phi}{\partial t} = [-\nabla^2 - \mu + g(|\Phi|^2 + 2n_e)]\Phi + gm_e \Phi^*$$

$$i \frac{\partial u_j}{\partial t} = [-\nabla^2 - \mu + 2g|\Phi|^2]u_j - g\Phi^2 v_j = A_j$$

$$i \frac{\partial v_j}{\partial t} = -[-\nabla^2 - \mu + 2g|\Phi|^2]v_j + g\Phi^{*2}u_j = B_j$$

$$n_e = \sum_j [|u_j|^2 N_j + |v_j|^2 (N_j + 1)] : \text{素励起 (非凝縮体) の密度}$$

$$m_e = - \sum_j [u_j v_j^* (2N_j + 1)]$$

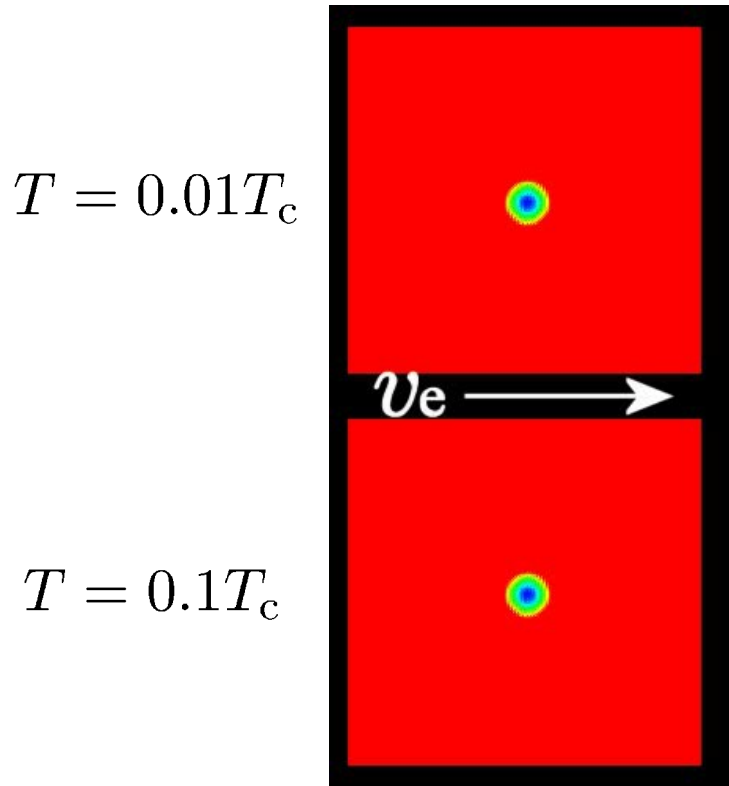
$$E_j = \int d\mathbf{x} \operatorname{Re}[u_j^* A_j + v_j^* B_j] : \text{励起スペクトル}$$

$$\begin{aligned} E_j u_j &= [k_j^2 - \mu + 2g|\Phi|^2]u_j - g\Phi^2 v_j \\ E_j v_j &= -[k_j^2 - \mu + 2g|\Phi|^2]v_j + g\Phi^{*2}u_j \end{aligned}$$

素励起の初期条件:
一様定常解

3, 1本の渦でのシミュレーション: 相互摩擦 擦力係数の計算

外部流れ場中における1本の量子渦



$$\dot{\mathbf{x}}_0 = \alpha \mathbf{x}'_0 \times \mathbf{v} - \alpha' \mathbf{x}'_0 \times [\mathbf{x}'_0 \times \mathbf{v}]$$

量子渦の軌跡

$$\mathbf{v} = [v_e, 0]$$

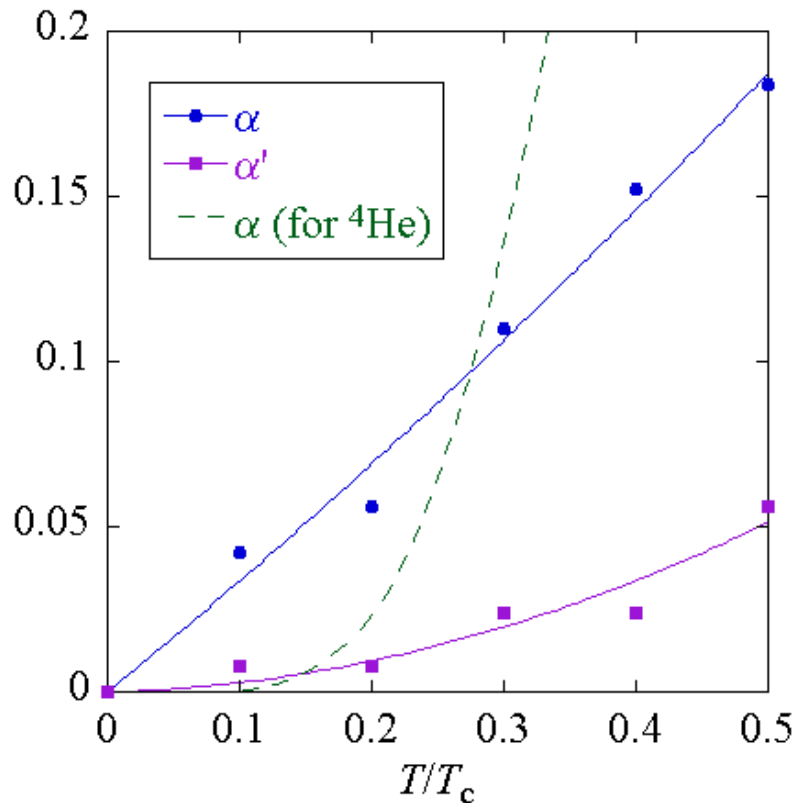
$$\mathbf{x}_0(t) = [x_{0x}(0) + \alpha' v_e t, x_{0y}(0) + \alpha v_e t]$$

v_e : 外部流れ場

v_e とともに動く座標系

3, 1本の渦でのシミュレーション: 相互摩擦係数の計算

相互摩擦係数の温度依存性



$$T_c = 4\pi / \{\zeta(3/2)\}^{2/3}$$

:理想ボース気体のボース凝縮転移温度

相互摩擦係数は温度ともに上昇する

→超流動Heの相互摩擦係数と定性的に一致

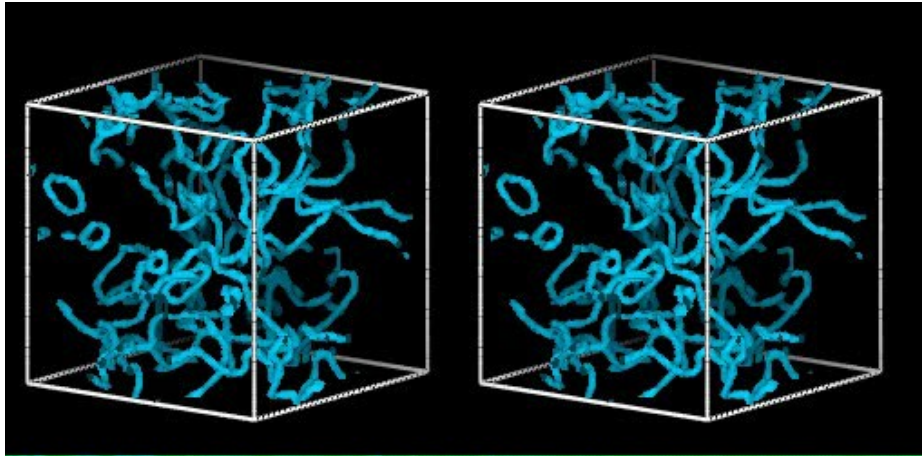
→ただし定量的には一致しない(液体Heは強相関係)

4, 超流動乱流中でのシミュレーション

$$0 < t < 1$$

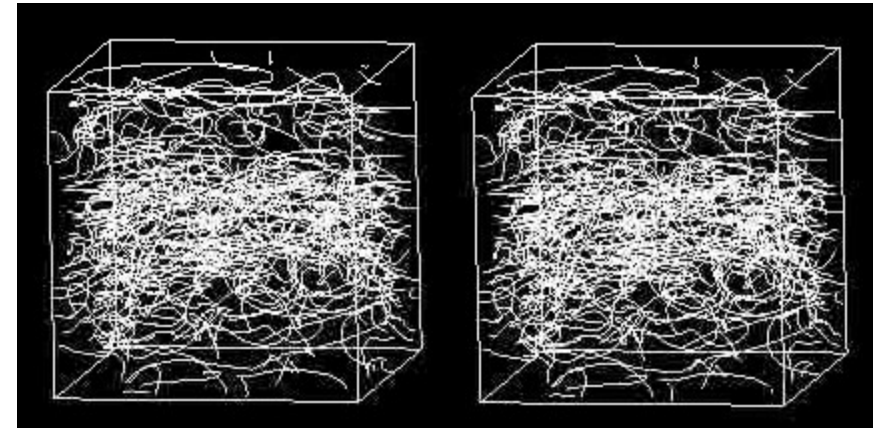
$$T = 0.01T_c$$

$$T = 0.1T_c$$



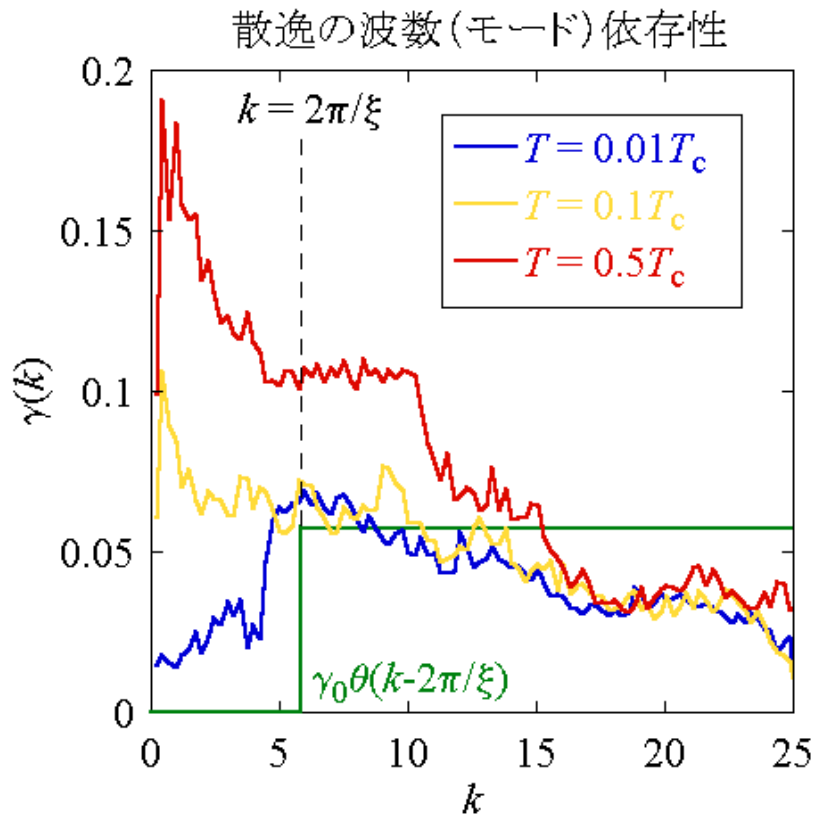
$$\alpha = 0.1 \quad \alpha' = 0$$

$$\alpha = \alpha' = 0$$



温度が高いときに量子渦が
散逸されている→超流動He
の相互摩擦力と同じ効果

4, 超流動乱流中でのシミュレーション

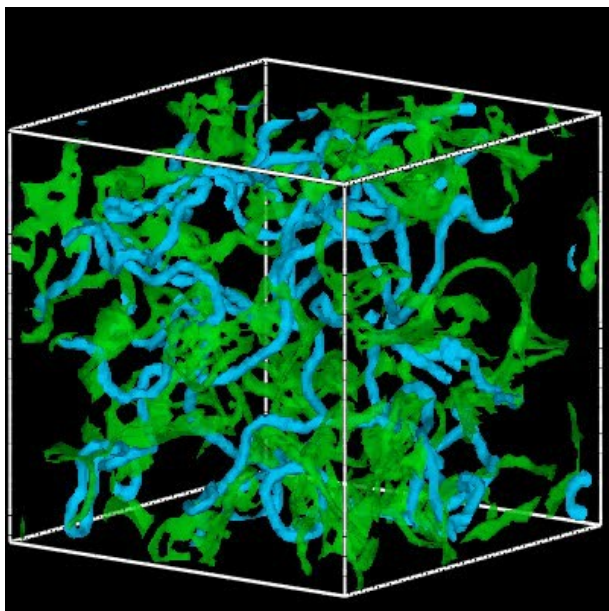


($t > 1$ での平均)

高温では
 低温では、散逸が低波数領域にま
 散逸が高波数領域のみ
 で効いている。
 →渦が散逸され、量子
 渦(短波長)の影響が起のみ
 がなくなる(渦が破れ
 る?)。

→超流動Heの相互摩擦
 力に類似

非凝縮体の乱流とのカップリング



$$T = 0.1T_c$$

青: 量子渦

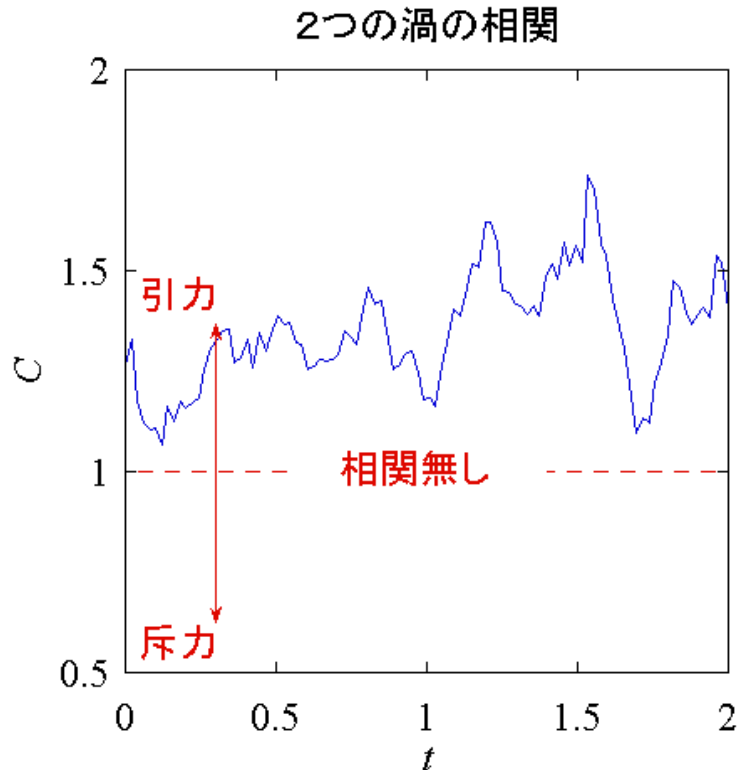
緑: 素励起の高渦度領域

$$|\omega_e(\boldsymbol{x})| > 0.95 \langle |\omega_e| \rangle$$

温度が高いときに、凝縮体(超流動)と素励起(非凝縮体)の強く結合した乱流が形成される

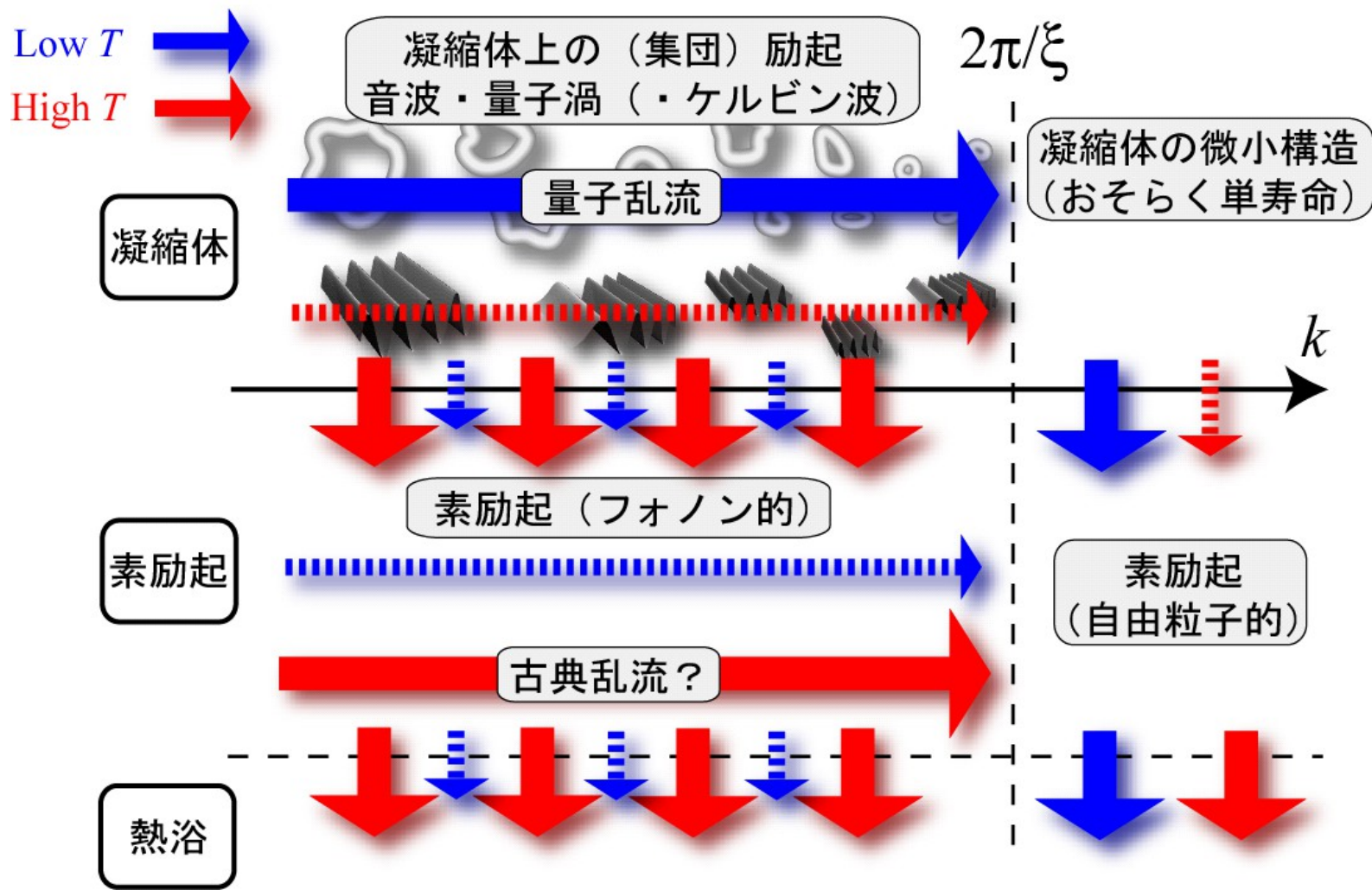
非凝縮体の乱流とのカップリング

量子渦と素励起渦は常に引力：両者は結合して運動しようとする



もし素励起(粘性流体)の乱流がKolmogorov則を示せば、それに引きずられて量子渦ダイナミクスがKolmogorov則を回復する可能性がある？

5, まとめ



6, 今後の課題

1. 1本の渦におけるエネルギー移動の詳細なダイナミクス
2. 発達した乱流(大規模シミュレーション、エネルギースペクトルなど)
3. 散逸の渦配置依存性
4. 非線形項の温度依存性

計算パラメータ

全格子点数： 64^3

素励起のエネルギー準位数： 16^3

空間解像度： $\Delta x = 0.25$

初期凝縮体平均密度： $\bar{\rho} = 1$

相互作用の結合定数： $g = 1$

時間解像度： $\Delta t = 0.0001$

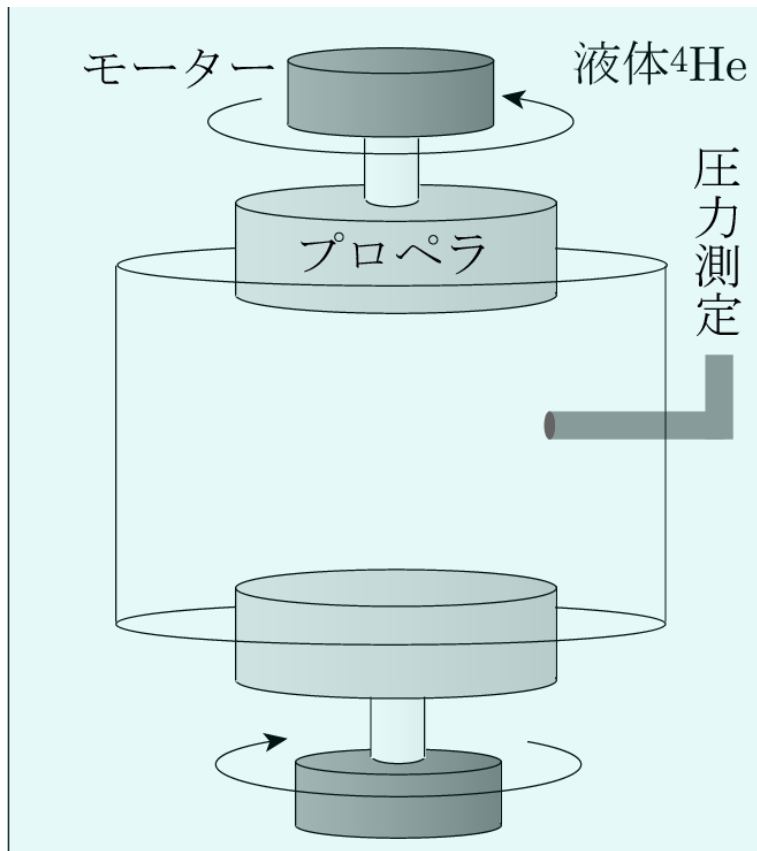
計算方法：周期境界条件における擬スペクトル法

+ 4次のルンゲークッタ

素励起のエネルギー準位モードとしてフーリエ変換の波数を用いる

超流動乱流の実験

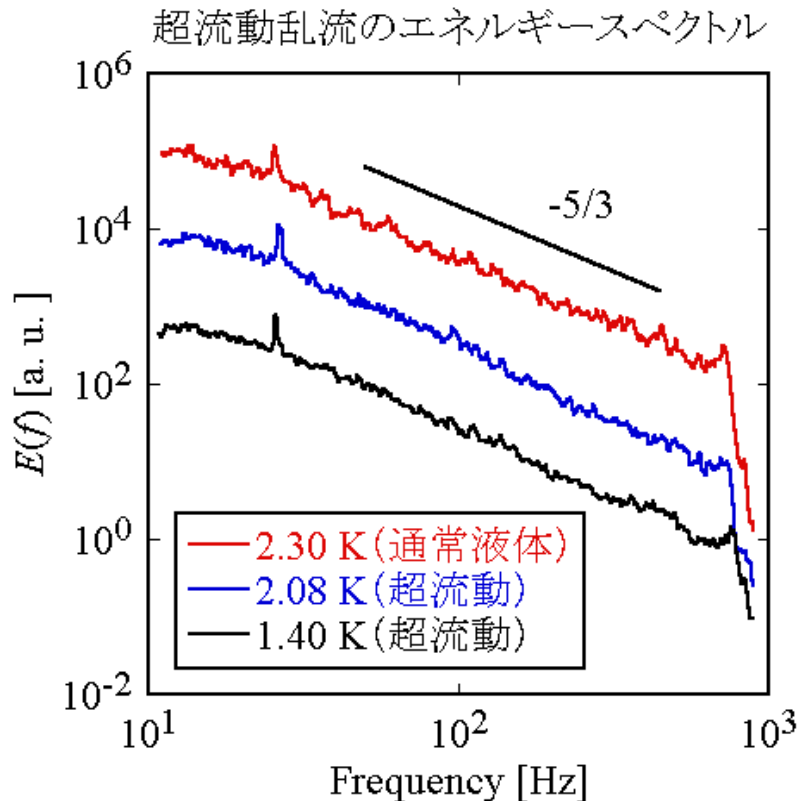
向かい合う振動円板流中に形成された超流動 ^4He の超流動乱流



実験は $T > 1.4[\text{K}]$ と高温であり、相互摩擦力が十分に働いている領域であるにもかかわらず、エネルギースペクトルが Kolmogorov 則を示した

J. Maurer and P. Tabeling, Europhys. Lett. **43** (1), 29 (1998)

超流動乱流の実験



粘性を持つ常流体の乱流(素励起渦)と粘性を持たない超流体の乱流(量子渦)が結合することによってKolmogorov則が成り立っているのかも知れない(もしくは常流体しか観測にかかっていない?)

相関関数の計算

相関関数:

$$C(t) \equiv \frac{L_e/L}{\int d\mathbf{x} p_e(\mathbf{x})/V}$$

L : 量子渦の全渦糸長

L_e : $|\omega_e(\mathbf{x})| > 0.95 \langle |\omega_e| \rangle$ の領域にある量子渦の全渦糸長

V : 系の体積

$p_e(\mathbf{x}) = 1$ if $|\omega_e(\mathbf{x})| > 0.95 \langle |\omega_e| \rangle$

$p_e(\mathbf{x}) = 0$ if $|\omega_e(\mathbf{x})| > 0.95 \langle |\omega_e| \rangle$

$C(t) < 1$: 量子渦と素励起渦は反発する

$C(t) = 1$: 相関無し

$C(t) > 1$: 量子渦と素励起渦は引き合う

散逸の構造

散逸は凝縮体と揺らぎとの相互作用によって導入される

$$H = \int dx \left[|\nabla \Phi(\mathbf{x}, t)|^2 - \mu + \frac{g}{2} |\Phi(\mathbf{x}, t)|^2 - i\Gamma(\mathbf{x}, t) \right] |\Phi(\mathbf{x}, t)|^2$$

↓ $\Gamma(\mathbf{x}, t)$: 凝縮体と揺らぎとの衝突積分

$$i \frac{\partial}{\partial t} \Phi(\mathbf{x}, t) = [-\nabla^2 - \mu + g |\Phi(\mathbf{x}, t)|^2 - i\Gamma(\mathbf{x}, t)] \Phi(\mathbf{x}, t)$$

↓ 平衡周りの微小揺らぎを仮定 : $\Gamma(\mathbf{x}, t) \propto \gamma(\mathbf{x}, t) \mu$

$$[i - \gamma(\mathbf{x}, t)] \frac{\partial}{\partial t} \Phi(\mathbf{x}, t) = [-\nabla^2 - \mu + g |\Phi(\mathbf{x}, t)|^2] \Phi(\mathbf{x}, t)$$

散逸の構造

$$\hat{G}(x; x') = \begin{bmatrix} G_{11}(x; x') & G_{12}(x; x') \\ G_{21}(x; x') & G_{22}(x; x') \end{bmatrix}$$

$$iG_{11}(x; x') = \langle T[\hat{\Psi}(x)\hat{\Psi}^\dagger(x')] \rangle$$

$$iG_{12}(x; x') = \langle T[\hat{\Psi}(x)\hat{\Psi}(x')] \rangle$$

$$\hat{\Sigma}(x; x') = \begin{bmatrix} \Sigma_{11}(x; x') & \Sigma_{12}(x; x') \\ \Sigma_{21}(x; x') & \Sigma_{22}(x; x') \end{bmatrix}$$

$$\hbar\Sigma_{11}(x; x') = \text{diagram 1} + \text{diagram 2} + \text{diagram 3} + \text{diagram 4}$$

$$\hbar\Sigma_{12}(x; x') = \text{diagram 5} + \text{diagram 6}$$

Hartree-Fock近似
を使った場合

散逸の構造

BdG方程式

$$i \frac{\partial}{\partial t} \hat{G}(x; x') - \int dx'' \hat{A}(x; x'') \hat{G}(x''; x) = \delta(x - x') \hat{\mathbf{1}}$$

$$\hat{A}(x; x') = \hat{\sigma}_z [T(x) - \mu] \delta(x - x') + \hat{\Sigma}(x; x')$$

$$\int dx' \hat{A}(x; x') \hat{u}_j(x') = E_j \hat{u}_j(x) \quad \int dx \{|u_j(x)|^2 - |v_j(x)|^2\} = 1$$

$$\hat{u}_j(x) = \begin{bmatrix} u_j(x) & v_j(x) \\ v_j(x) & u_j(x) \end{bmatrix}$$

散逸の構造

$$[T(x) - \mu]\Phi(x) + \int dx' \{ \Sigma_{11}(x; x')\Phi(x') + \Sigma_{12}(x; x')\Phi^*(x') \} = i \frac{\partial}{\partial t} \Phi(x)$$



$$\Phi(t - t') \simeq \Phi(t) - \frac{\partial \Phi(t)}{\partial t} t' - \gamma(t) \frac{\partial \Phi(t)}{\partial t}$$

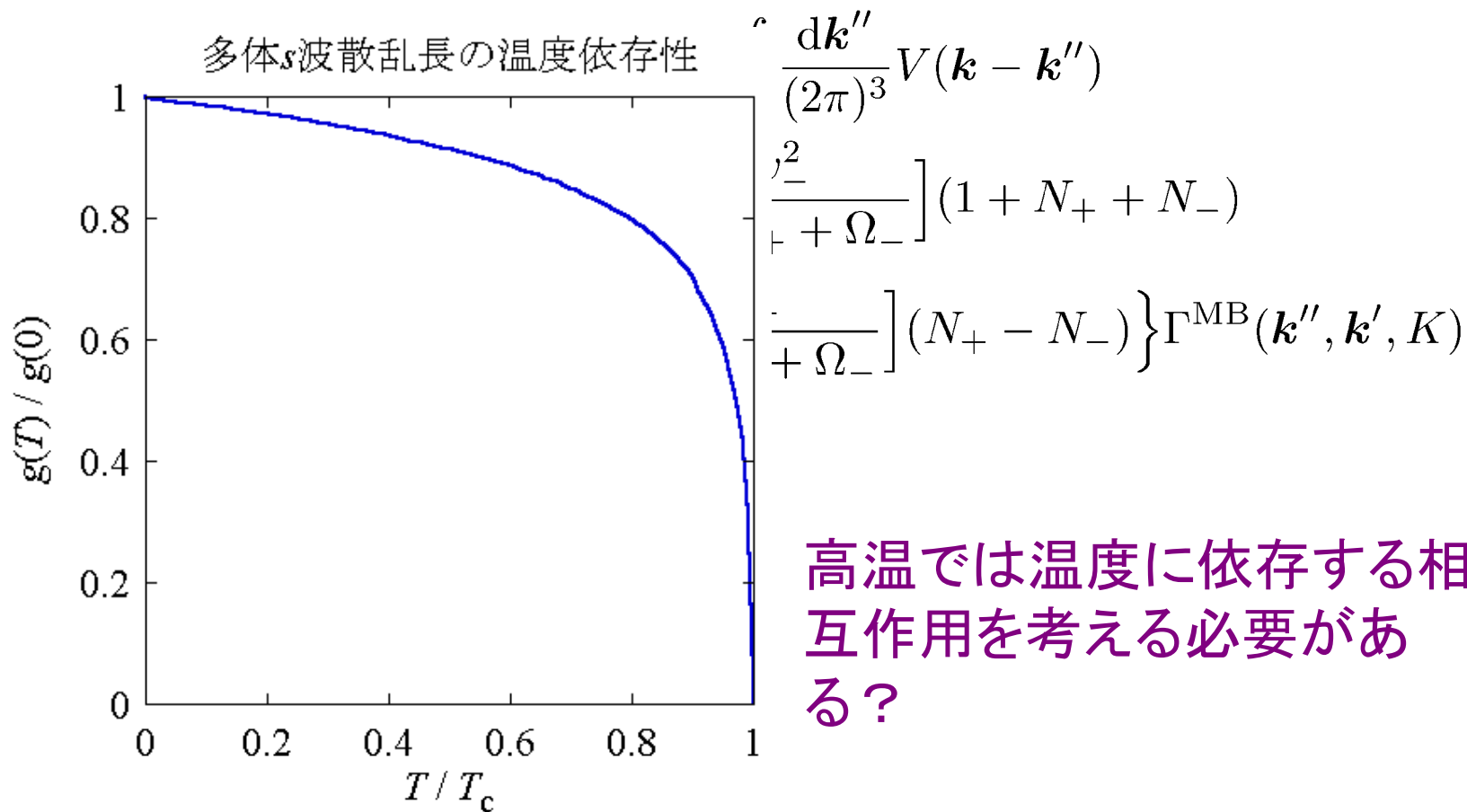
$$\gamma(x) = - \int dx' [\Sigma_{11}(x; x') + \Sigma_{12}(x; x')\Phi^*(x')/\Phi(x')] x'$$

時間相関0の極限において
(Hartree-Fock近似)

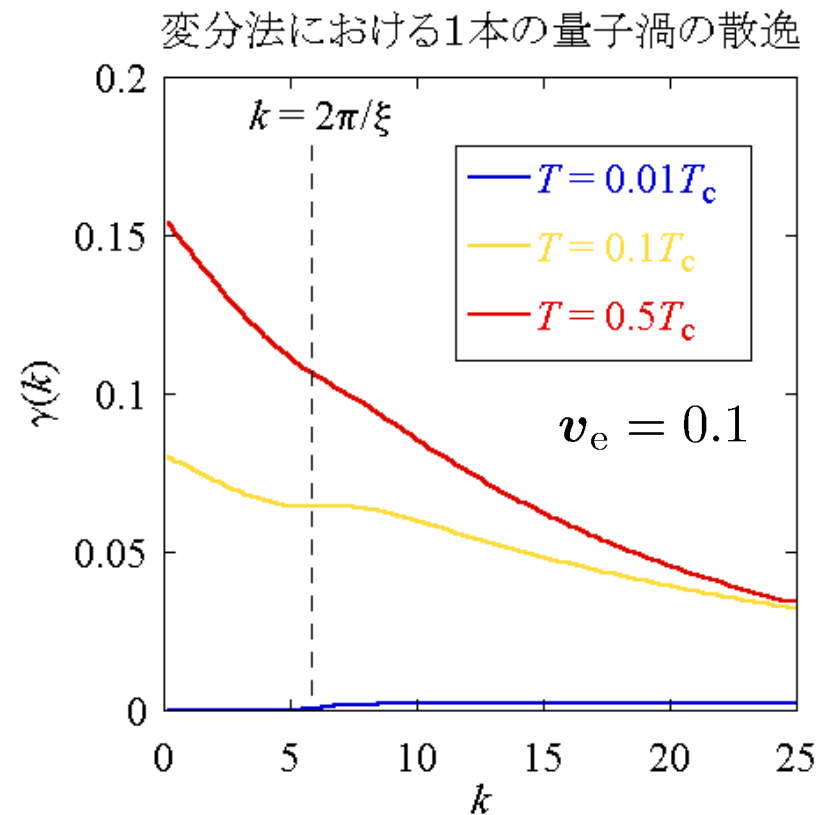
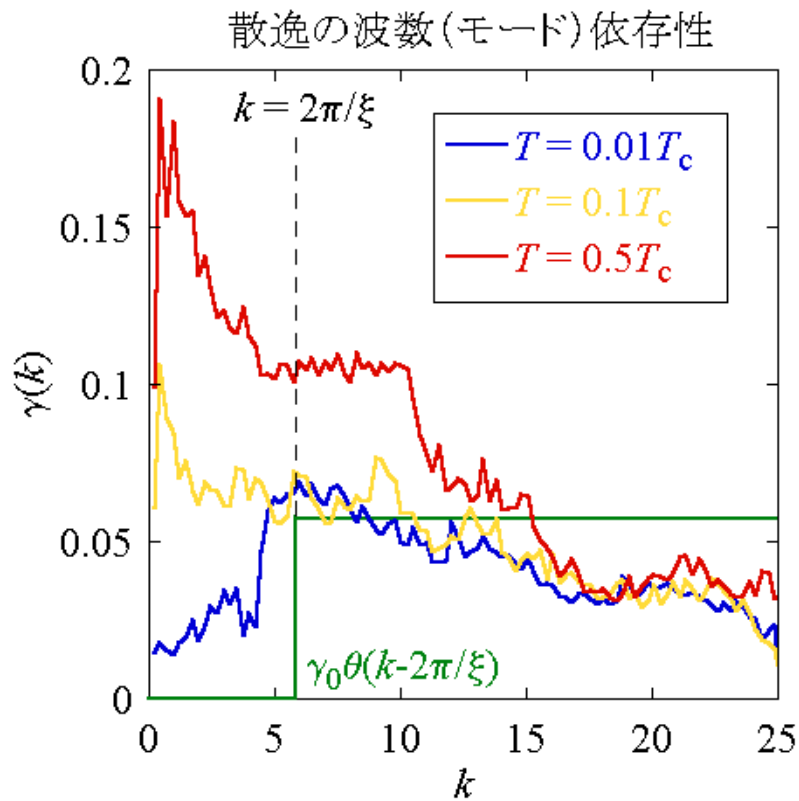
$$\gamma(x) = - \text{Im} \left[g \frac{\langle \hat{\chi}(x)\hat{\chi}(x) \rangle \Phi^*(x)}{\Phi(x)} \right]$$

相互作用の温度依存性

一様ボース気体中においてBethe-Salpeter方程式を解けば

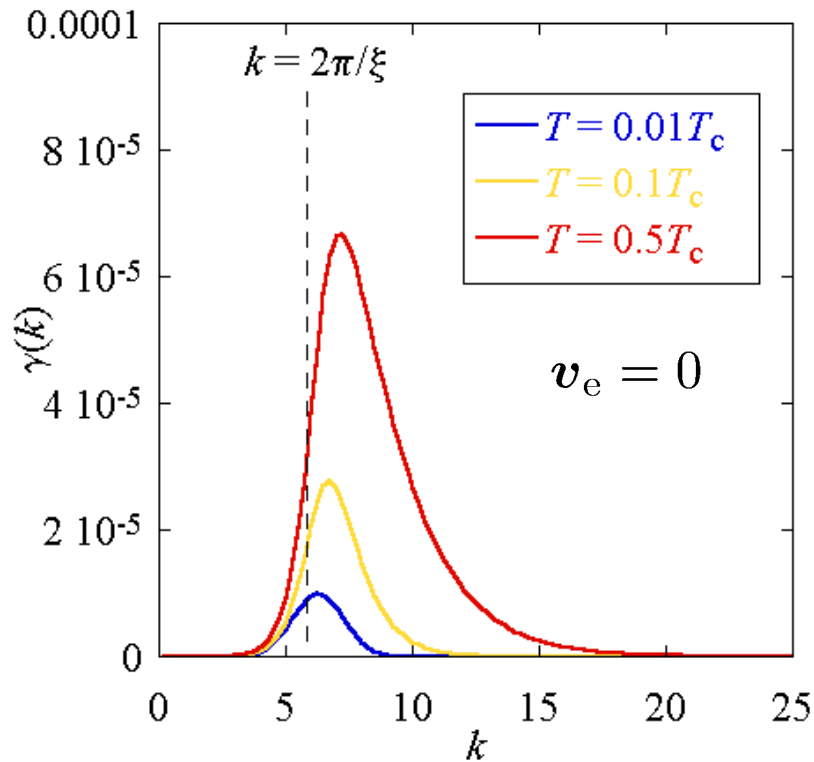


散逸構造の比較

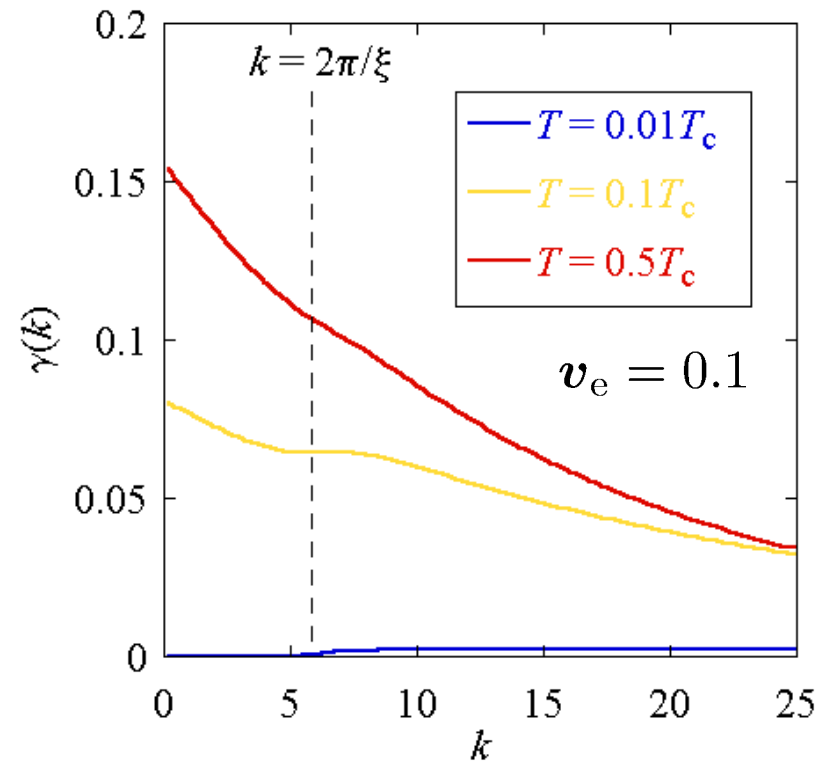


散逸構造の比較

変分法における1本の量子渦の散逸

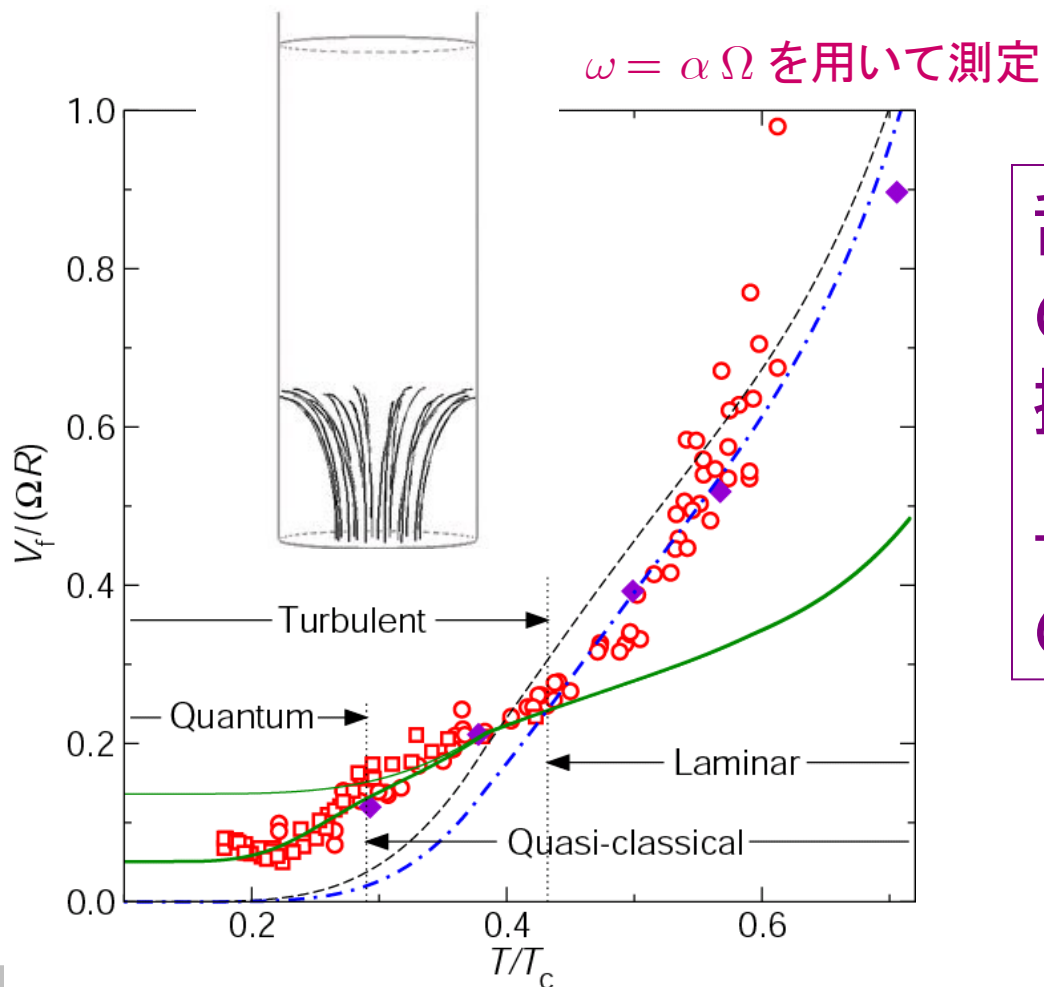


変分法における1本の量子渦の散逸



乱流状態の相互摩擦力係数

Twisted vortexを用いた相互摩擦力係数の温度依存性の測定



乱流状態では絶対零度の極限で有限の相互摩擦力になる

→乱流における渦粘性の効果？

V. B. Eltsov et al. PRL **96** 215302 (2006)
Private discussion with M. Krusius